
ПРИКАСПИЙСКИЙ ЖУРНАЛ: управление и высокие технологии № 2 (6) 2009

ную гауссовскую функцию, независимую от $C_1(r)$, с нулевым математическим ожиданием и корреляционным оператором K . При введенных предположениях находим:

$$\varphi_0 = (Z_0(r), \dots, Z(r,t)) = e^{-\frac{1}{2}(KZ,Z)} \varphi_2(Z_2(r)), \quad (12)$$

или

$$f_0 = (v_0(r,t)) = e^{-\frac{1}{2}(Kv_1,v_1)}, \quad (13)$$

где

$$v_1(r,t) = \int_{R^n} \int_t^\infty \Phi(q-r, s-t) v_0(q,s) dq ds \quad (14)$$

Первое приближение будет иметь вид:

$$f_1(v_0(r,t), v_1(r,t)) = f_0(v_0(r,t)) N(r,t) \quad (15)$$

Функция $N(r,t)$ зависит от $\Phi(r,t)$, $v_1(r,t)$ сложным образом, и ее выражение из-за громоздкости здесь не приводится. Интегрирование в этих выражениях производится по обобщенным мерам.

Библиографический список

1. Гасанов, А. Б. Исследование реакции вязкоупругих систем на случайные воздействия / А. Б. Гасанов // Известия НА Азербайджанской Республики. – 2005. – № 1. – С. 112–117. – (Сер. физико-технических и математических наук).
2. Гасанов, А. Б. Исследование случайных волновых полей сейсмодинамики с применением вероятностных мер // А. Б. Гасанов, А. Б. Садыхов // Известия АН Азербайджанской Республики. – 2006. – Т. 23, № 2. – С. 52–55. – (Сер. физико-технических математических наук).
3. Гасанов, А. Б. Реакция механических систем на нестационарные внешние воздействия / А. Б. Гасанов. – Баку : Элм, 2004. – 247 с.
4. Курбанов, Н. Т. Кручение вязкоупругой цилиндрической оболочки / Н. Т. Курбанов // Материалы IV Республиканской конференции по математике и механике. – Баку, 1983.
5. Работников, Ю. Н. Элементы наследственной механики твердых тел / Ю. Н. Работников. – М. : Наука, 1977.

УДК 539.193/.194;535.33/.34

СТРУКТУРНО-ДИНАМИЧЕСКИЕ МОДЕЛИ 1,4-ЦИКЛОГЕКСАДИЕНА И ЕГО КИСЛОРОДЗАМЕЩЕННЫХ АНАЛОГОВ

Л.М. Элькин, Е.А. Джалимухамбетова, И.И. Гордеев

Выполнен расчет параметров адабатического потенциала 1,4-циклогексадиена, 4Н-пирана и диоксина в ангармоническом приближении теории молекулярных колебаний. Построены структурно-динамические модели исследуемых соединений, выяснено влияние ангармонических резонансов на сдвиг полос фундаментальных колебаний.

Ключевые слова: 1,4-циклогексадиен, 4Н-пиран, диоксин, адабатический потенциал, молекулярное моделирование, неэмпирические методы, DFT, колебательный спектр, ИК-спектр.

Key words: 1,4-cyclohexadiene, 4H-pyran and dioxin, adiabatic potential, molecular modeling, ab initio methods, DFT, vibrational spectra, IR-spectra.

СИСТЕМНЫЙ АНАЛИЗ И МАТЕМАТИЧЕСКОЕ МОДЕЛИРОВАНИЕ

Введение. Рассматриваемые в данном сообщении молекулы (1,4-циклогексадиен, 4Н-пиран, 1,4-диоксин) являются базовыми циклическими фрагментами целого ряда соединений, являющихся спутниками различных промышленных производств и представляющих опасность экологического загрязнения окружающей среды.

Для использования методов оптической физики в экологическом мониторинге необходимо установить те диапазоны оптического спектра, полосы которых можно использовать для идентификации сложных соединений, состоящих из изученных как экспериментально, так и теоретически простых фрагментов. Из всех оптических спектров наибольшей информативностью обладают спектры инфракрасного поглощения (ИК) и комбинационного рассеяния (КР). В этих спектрах проявляется динамика ядерной подсистемы молекулы, т.е. колебания отдельных ее фрагментов.

Молекула – квантовый объект. Все физико-химические свойства молекулярного соединения определяет ее адиабатический потенциал, в том числе и колебательные состояния. Адиабатический потенциал как функция ядерных координат является решением квантового уравнения для электронной подсистемы молекулы [1].

Реально возможно лишь численное решение таких квантовых уравнений, что позволяет оценить коэффициенты разложения адиабатического потенциала – квадратичные, кубические F_{srt} и квартичные F_{srtv} силовые постоянные.

Именно эти параметры входят в модельное квантовое уравнение, определяющее колебание ядер

$$H^{(v)} = \frac{1}{2} \left\{ \left[P_s^2 + (\omega_s Q^s)^2 \right] + \left[F_{srt} Q^s Q^r Q^t \right] + \left[F_{srtv} Q^s Q^r Q^t Q^v \right] \right\}, \quad (1)$$

здесь Q^s – нормальные колебательные координаты [2]; линейно связанные с декартовыми смещениями атомов из положения равновесия при колебаниях; P_s – соответствующие им операторы импульсов.

Решение уравнения (1) методами теории возмущения дает известное выражение для колебательных уровней энергии:

$$E^{(v)} = \omega_s (v_s + 1/2) + \chi_{sr} (v_s + 1/2)(v_r + 1/2)(1 + \delta_{sr}/2). \quad (2)$$

Здесь χ_{sr} – ангармонические постоянные, являющиеся функциями указанных выше параметров адиабатического потенциала, ω_s – частоты фундаментальных колебаний, v_s – колебательные квантовые числа.

Для получения параметров адиабатического потенциала в системе естественных колебательных координат [2], имеющих ясный физический смысл, можно воспользоваться алгоритмом, приведенным в работе [3].

Интерес к рассматриваемым соединениям можно проследить, по ряду публикаций [4, 6]. Тем не менее вопрос об интерпретации фундаментальных колебательных состояний не закрыт. Экспериментальное отнесение для ряда полос отличается от полос, рассчитанных неэмпирическими квантовыми методами [6], на величины $\sim 150 \text{ см}^{-1}$. Не очевиден выбор квантового метода расчета параметров адиабатического потенциала, базиса этого метода, не учитывалось влияние ангармонических резонансов.

Цель данного сообщения – построение структурно-динамических моделей 1,4-циклогексадиена, 4Н-пирана, 1,4-диоксина в рамках ангармонического приближения теории молекулярных колебаний, выяснение возможностей метода функционала плотности DFT/b3LYP [5] с различными базисными наборами в предсказательных расчетах колебательных состояний сложных молекулярных соединений, содержащих исследуемые молекулы в качестве фрагментов.

Анализ результатов численного эксперимента

Структурная модель 1,4-циклогексадиена $C_4H_4(CH_2)_2$ получится заменой в бензольном кольце атомов углерода в параположениях фрагментом CH_2 . Гибридизация атома углерода меняется с SP_2 на SP_3 . Замена атома углерода кольца на атом кислорода в параположении относительно фрагмента CH_2 приводит к структурной модели 4Н-пирана ($C_4H_4OCH_2$). Заменой двух фрагментов CH_2 на атом кислорода получим структурную модель диоксина ($C_4H_4O_2$). Молекула 4Н-пирана обладает симметрией C_{2v} , остальные – D_{2h} . Для последних имеет место правило альтернативного проявления интенсивностей в спектрах ИК и КР, не проявляются в спектрах колебания типа Au.

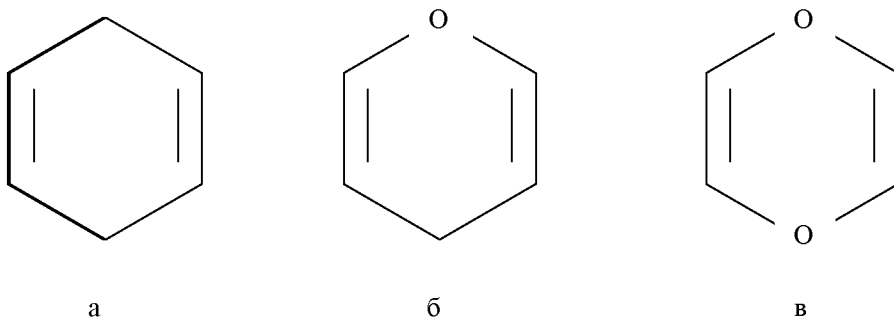


Рис. 1. структурные модели: а) 1,4-циклогексадиен; б) 4Н-пиран; в) 1,4-диоксин

Оптимизация геометрии молекул приводит к следующим результатам для 1,4-циклогексадиена: длина связи $C_1C_2 = 1,51 \text{ \AA}$, $C_2C_3 = 1,33 \text{ \AA}$, $CH = 1,09 \text{ \AA}$; величины углов: $C_1C_2C_3 = 123,6^\circ$; $C_3C_4C_5 = 112,9^\circ$; $C_1C_2H = 116,7^\circ$. Для фрагмента CH_2 : $CH = 1,10 \text{ \AA}$; $HCH = 104,3^\circ$, $CCH = 109,9^\circ$.

B 4Н-пиране: $C_1C_2 = 1,51 \text{ \AA}$, $C_2C_3 = 1,33 \text{ \AA}$, $C_3O_4 = 1,38 \text{ \AA}$, $CH = 1,09 \text{ \AA}$; $C_2C_1C_6 = 109,1^\circ$, $C_1C_2C_3 = 122,6^\circ$, $C_1C_2H = 119,3^\circ$, $C_2C_3C_4 = 124,9^\circ$, $C_3O_4C_5 = 115,7^\circ$. Для фрагмента CH_2 : $CH = 1,10 \text{ \AA}$, $HCH = 104,9^\circ$, $CCH = 110,6^\circ$.

Для 1,4-диоксина: $O_1C_2 = 1,39 \text{ \AA}$, $C_2C_3 = 1,33 \text{ \AA}$, $CH = 1,08 \text{ \AA}$; $O_1C_2C_3 = 124,0^\circ$, $C_3O_4C_5 = 112,0^\circ$, $O_1C_5H = 112,6^\circ$.

Смена базиса расчета от 6-31 G(*) до 6-311 G(**) приводит к изменению значений в третьем знаке мантиссы

Такие изменения в геометрии при переходе от соединения к соединению сказываются на кинематической части модельного гамильтониана [1, 2] несущественно. Сдвиг колебательных уровней на порядок меньше, чем сдвиг, вызванный ангармонизмом колебаний

Таким образом, смещение колебательных состояний обусловлено изменением силовых постоянных шестичленного кольца при замене в нем атома углерода (C_1 и C_4) на атом кислорода.

Колебания фрагмента CH_2 следует считать характеристичными, а их положение в частотном диапазоне совпадает с таковым для нафтеновых углеводородов [1].

Положение фундаментальных полос и их интенсивности заметно зависит от выбора базиса расчета, что и продемонстрировано в таблицах 1–3. Однако качественный характер интенсивностей полос сохраняется.

СИСТЕМНЫЙ АНАЛИЗ И МАТЕМАТИЧЕСКОЕ МОДЕЛИРОВАНИЕ

Таблица 1

Интерпретация фундаментальных колебаний 1,4-циклогексадиена

Тип симмет.	Форма колеб.	ν эксп. [4, 6]	Минимум			Максимум		
			vh	vanh	ИК/КР	vh	vanh	ИК/КР
AG	q _{CH}	3032	3156	3014	335	3176	3032	377
AG	q _{CH2}	2822	2975	2737	400	2989	2925	456
AG	Q,β	1680	1751	1701	17,92	1772	1721	22,2
AG	β _{CH2}	1426	1470	1432	68,84	1501	1462	84,2
AG	β _{CH}	1159	1223	1208	11,04	1238	1220	37,4
AG	Q,β	854	857	845	14,06	864	852	15,67
AG	γ	530	543	535	2,60	545	537	2,71
B1G	q _{CH}	3019	3131	2881	144	3152	2957	161
B1G	β _{CH}	1372	1403	1364	6,26	1419	1380	13,00
B1G	Q,β	1358	1367	1334	2,16	1380	1347	3,13
B1G	β _{CH2}	—	1044	1026	3,38	1053	1036	6,83
B1G	γ	574	579	574	1,47	581	576	1,67
B1U	q _{CH2}	2875	2979	2821	56,9	2997	2837	65,3
B1U	β _{CH2}	956	987	970	17,8	1003	984	26,8
B1U	ρ _{CH}	622	631	626	50,6	636	629	72,5
B1U	χ _{CC}	108	116	124	0,80	126	130	0,92
B2G	q _{CH2}	2877	2980	2822	269	2998	2838	273
B2G	β _{CH2}	—	1015	996	1,68	1021	1001	4,59
B2G	ρ _{CH}	985	967	946	0,73	978	956	1,77
B2G	χ _{CC}	403	405	403	3,14	406	405	3,78
B2U	q _{CH}	3130	3153	3010	81,7	3174	3031	98,9
B2U	Q,β	1639	1705	1663	5,85	1727	1685	6,31
B2U	Q,β	—	1382	1346	0,13	1402	1364	0,25
B2U	β _{CH}	1193	1181	1165	0,00	1190	1176	0,07
B2U	β _{CH2}	956	946	930	0,01	954	938	0,21
B3G	β _{CH2}	—	1223	1194	10,0	1233	1205	38,3
B3G	ρ _{CH}	706	718	716	13,48	724	718	26,22
B3U	q _{CH}	3019	3131	2986	18,9	3152	3030	28,1
B3U	q _{CH2}	2825	2977	2732	98,4	2990	2922	110
B3U	β _{CH2}	1430	1473	1434	2,47	1504	1464	7,03
B3U	β _{CH}	1405	1438	1403	0,00	1456	1422	0,20
B3U	Q,β	956	973	953	0,30	977	956	0,55
B3U	Q,β	887	891	873	9,08	900	883	12,2

Примечание. Частоты колебаний в см^{-1} , интенсивности в ИК-спектрах в км/моль , в КР-спектрах в $\text{\AA}^4/\text{а.е.м.}$

ПРИКАСПИЙСКИЙ ЖУРНАЛ:
управление и высокие технологии № 2 (6) 2009

Таблица 2

Интерпретация фундаментальных колебаний 4Н-пирана

Тип сим.	Форма колеб.	ν эксп. [4, 6]	Минимум				Максимум			
			νh	vanh	ИК	КР	νh	vanh	ИК	КР
A1	q _{CH}	3078	3218	3097	2,36	207	3243	3129	4,32	232
A1	q _{CH}	—	3178	2990	1,90	87,9	3200	3027	3,80	99,3
A1	q _{CH₂}	2852	2971	2768	71,1	188	2987	2815	78,1	215
A1	Q,β	1694	1752	1703	49,8	16,8	1772	1720	53,1	20,8
A1	β _{CH₂}	1455	1499	1456	0,07	30,4	1529	1490	1,16	36,1
A1	β _{CH}	—	1436	1405	0,03	1,42	1456	1425	0,30	1,78
A1	β _{CH}	1213	1241	1222	2,93	19,9	1253	1234	3,05	23,5
A1	Q,β	1008	1030	1017	1,71	4,37	1035	1020	1,89	5,91
A1	Q,β	880	922	905	54,5	1,51	929	912	63,3	2,02
A1	γ	729	888	873	2,17	15,6	895	881	3,04	16,8
A1	γ	523	534	528	0,96	1,54	536	529	1,01	1,69
A2	β _{CH₂}	1184	1218	1188	0,00	5,77	1232	1201	0,00	8,00
A2	ρ	—	947	926	0,00	0,43	958	934	0,00	0,64
A2	ρ	—	762	747	0,00	6,95	770	757	0,00	15,8
A2	χ	450	413	407	0,00	0,13	418	412	0,00	0,36
B1	q _{CH₂}	2920	2971	2813	37,10	129	2990	2830	42,1	134
B1	ρ	977	1011	983	11,1	0,48	1021	991	14,1	0,89
B1	ρ	929	940	920	1,14	0,18	950	928	3,05	1,52
B1	β _{CH₂}	729	742	730	33,6	0,54	747	738	51,2	0,62
B1	χ	481	497	490	32,7	4,42	503	495	40,8	5,22
B1	χ	118	129	123	1,68	0,01	136	132	2,03	0,06
B2	q _{CH}	3076	3214	3089	29,8	49,5	3239	3110	38,4	53,7
B2	q _{CH}	3046	3178	3065	9,09	80,3	3200	3104	12,8	88,8
B2	Q,β	1634	1692	1656	43,1	0,10	1715	1673	45,2	0,15
B2	β _{CH}	—	1392	1358	0,22	1,85	1410	1375	1,46	3,71
B2	β _{CH}	—	1359	1331	1,22	0,21	1373	1344	3,18	0,33
B2	β _{CH₂}	1262	1282	1251	108	1,00	1299	1268	113	1,10
B2	Q,β	1073	1085	1064	75,6	1,89	1099	1079	89,4	3,72
B2	Q,β	—	968	952	3,03	0,41	977	961	3,48	0,81
B2	γ	638	650	643	0,36	3,51	652	645	0,50	3,65

Как видно из приведенных таблиц, учет ангармонизма колебаний приводит к лучшему согласию экспериментальных и рассчитанных значений частот колебаний. Для подавляющей части частот экспериментальные значения попадают в интервал рассчитанных значений при решении задачи в ангармоническом приближении. В гармоническом приближении приведенные результаты численного эксперимента согласуются с таковыми из работ [4, 6]. Однако следует учесть, что интерпретация спектра в работах [4, 6] осуществлялась на основании теоретического анализа колебательных состояний в гармоническом приближении в рамках методов HF, MP2, DFT. Поэтому отнесение по форме, предложенное нами в табл. 1–3 для колебаний фрагмента CH₂, отличается от предложенного в работах [4, 6]. Для деформационных колебаний связей CH в области 1200–1400 cm⁻¹ согласие с экспериментом можно считать качественным. Особенno это касается 1,4-диоксина. Однако речь идет о слабых по интенсивности полосах в спектрах ИК и КР. Исключение составляет полоса ~ 1300 cm⁻¹ типа симметрии B_{2U} 1,4-диоксина. Как и в работах [4, 6] расхождение с экспериментальной полосой достигает 80 cm⁻¹.

СИСТЕМНЫЙ АНАЛИЗ И МАТЕМАТИЧЕСКОЕ МОДЕЛИРОВАНИЕ

Таблица 3
Интерпретация фундаментальных колебаний 1,4-диоксина

Тип сим.	Форма колеб.	ν эксп. [4, 6]	Минимум			Максимум		
			ν_{h}	ν_{anh}	ИК/КР	ν_{h}	ν_{anh}	ИК/КР
AG	q_{CH}	3121	3254	3127	257	3280	3144	272
AG	Q	1686	1768	1685	10,1	1789	1747	14,3
AG	β	1211	1241	1221	20,5	1253	1232	24,2
AG	Q	938	930	917	24,3	941	926	24,8
AG	γ	542	526	519	0,67	526	520	0,78
B1G	ρ	748	750	746	0,00	758	750	11,6
B1U	q_{CH}	3121	3235	3141	0,00	3260	3174	0,52
B1U	β	1395	1422	1392	3,90	1443	1410	4,80
B1U	β	990	1074	1054	2,99	1079	1058	3,53
B1U	γ	901	906	890	123	911	895	135
B2G	ρ	857	869	851	0,29	881	866	2,29
B2G	χ	516	544	538	7,70	559	550	7,97
B2U	q_{CH}	3130	3252	3125	17,0	3277	3142	25,4
B2U	Q	1640	1707	1657	107	1733	1673	114
B2U	β	1201	1309	1283	116	1322	1295	132
B2U	γ	1011	1028	1013	101	1043	1025	107
B3G	q_{CH}	3221	3231	3124	122	3257	3145	124
B3G	β	1312	1332	1311	1,11	1349	1324	1,73
B3G	β	1078	1041	1012	3,68	1067	1035	5,25
B3G	γ	697	704	697	5,02	705	699	5,35
B3U	ρ	739	749	746	62,9	757	749	90,8
B3U	χ	124	87	95	21,7	89	96	23,8

Отметим, что авторы работ [4, 6] не приводят полный экспериментальный спектр, нет и оценки интенсивностей тех полос, которые они, согласно квантовым расчетам, интерпретировали как фундаментальные.

При этом эксперимент для КР-спектров осуществлялся для жидкого состояния. В то же время расчетные и экспериментальные данные хорошо согласуются в диапазоне ниже 900 cm^{-1} . Влияние ангармонизма колебаний здесь, как и следовало ожидать, несущественно ($\sim 10\text{--}20 \text{ cm}^{-1}$)

1. Учет ангармонизма колебаний позволяет довести численный эксперимент до такого уровня согласия с экспериментальными данными, при котором предсказательные расчеты параметров адиабатического потенциала можно считать достоверными.
2. Учет резонансных эффектов Ферми и Дарлинга-Деннисона не приводит к лучшему согласию с экспериментом. Это можно достигнуть решением ангармонической механической задачи во втором порядке теории возмущения.
3. Согласно результатам проведенного численного моделирования гармонических и ангармонических параметров адиабатического потенциала предпочтение следует отдать базису 6-311 G*(**).

Библиографический список

1. *Браун, П. А.* Введение в теорию молекулярных спектров / П. А. Браун, А. А. Киселев. – Л. : ЛГУ, 1983. – 232 с.

ПРИКАСПИЙСКИЙ ЖУРНАЛ: управление и высокие технологии № 2 (6) 2009

2. *Свердлов, Л. М.* Колебательные спектры многоатомных молекул / Л. М. Свердлов, М. А. Kovner, Е. П. Крайнов. – М. : Наука, 1970. – 560 с.
3. *Элькин, П. М.* Метрические соотношения для естественных колебательных координат в задачах обертонной спектроскопии / П. М. Элькин, В. И. Березин, В. И. Пулин // Журнал прикладной спектроскопии. – 2005. – Т. 73, № 5. – С. 694–696.
4. *Choo, J.* Infrared and Raman spectra and molecular mechanics calculations of 4H-pyran and related molecules / J. Choo, K. Lee, J. Laane // Journal of Molecular Structure. – 1996. – Vol. 376. – P. 255–259.
5. *Frisch, M. J.* Gaussian 03. Revision A.7 / M. J. Frisch [et al.]. – Pittsburgh : Gaussian Inc., 2003.
6. *Moon, S.* Vibrational spectra and conformation of 1,4-cyclohexadiene and its oxygen analogues: ab initio and density functional calculation / S. Moon, Y. Kwon, J. Choo // Journal of Molecular Structure. – 1998. – Vol. 470. – P. 265–275.

УДК 539.196.3

МОДЕЛИРОВАНИЕ СТРУКТУРЫ И КОЛЕБАТЕЛЬНЫХ СПЕКТРОВ КИСЛОРОДОСОДЕРЖАЩИХ СОЕДИНЕНИЙ. СПИРТЫ

М.Д. Элькин, Е.А. Джалимухамбетова

На примере молекул метанола и этанола отыскивается методика учета ангармонических резонансов при построении структурно-динамических моделей кислородосодержащих соединений. Расчеты спектров осуществлены в ангармоническом приближении теории молекулярных колебаний неэмпирическим квантовым методом DFT/B3LYP для 12-ти базисных наборов от 6-31 G(d) до 6-311 ++G(d,p).

Ключевые слова: спирты, метанол, этанол, адабатический потенциал, молекулярное моделирование, неэмпирические методы, DFT, колебательный спектр, ИК-спектр.

Key words: spirits, methanol, ethanol, adiabatic potential, molecular modeling, ab initio methods, DFT, vibrational spectra, IR-spectra.

Одна из основных задач молекулярного моделирования – анализ параметров адабатического потенциала молекулярных соединений. Существуют две методики. Первая основана на решении обратных колебательных задач [4, 8]. Недостатки этой методики подробно описаны в диссертации [1]. Вторая методика использует неэмпирические квантовые методы оценки геометрической и электронной структуры молекул [7]. Здесь предпочтение отдается методам функционала плотности (DFT-методам) [10], а основной проблемой является выбор базиса расчета. Критерием служит хорошее совпадение результатов расчета фундаментальных колебательных состояний с экспериментом.

Для кислородосодержащих соединений ситуация иная. Для ряда простых молекул до настоящего времени нет устоявшейся интерпретации частот колебаний. Имеет место смешение полос при проведении эксперимента для различных фазовых состояний из-за образования димеров.

Предметом данной публикации является отработка методики использования современных компьютерных технологий в моделировании геометрической структуры и колебательных спектров различных кислородосодержащих соединений. Объект исследования – спирты.

Анализ колебательных состояний. Метиловый спирт (CH_3OH) хорошо изучен методами колебательной спектроскопии. Приведенная в монографии [8] интерпретация колеба-